

امکان‌سنجی تشخیص تغییر شکل شعاعی و مکان‌یابی عیب تخلیه جزیی در سیم‌پیچ ترانسفورماتور بصورت برخط و همزمان با استفاده از امواج الکترومغناطیسی

حسین کرمی^۱، گنورک قره‌پتیان^۱، یاسر نوروزی^۱، مریم السادات اخوان حجازی^۲

^۱دانشگاه صنعتی امیرکبیر، ^۲دانشگاه کاشان

واژه‌های کلیدی — تشخیص همزمان عیوب؛ تصویربرداری راداری؛ عیب تغییر شکل شعاعی؛ عیب تخلیه جزیی؛ امواج الکترومغناطیسی

۱. مقدمه

امروزه همه کشورهای صنعتی، به کارکرد و تولید بی‌نقص و انتقال و توزیع پیوسته قدرت الکتریکی وابسته‌اند. ترانسفورماتورها برای ارتباط و اتصال سیستم‌های انرژی با سطوح ولتاژ متفاوت بعنوان مهمترین دستگاه بخش انتقال و توزیع مطرح هستند. در نتیجه خرابی آنها می‌تواند باعث بروز وقایه در تغذیه شبکه و در نتیجه پیامدهای مخرب آن گردد. بسیاری از بهره‌برداران علاقمند هستند که از وضعیت داخل ترانسفورماتورهای قدرت باخبر شوند. به این ترتیب با استفاده از روش‌های برخط مونیتورینگ، علاوه بر جلوگیری از وارد آمدن خسارات جدی به ترانسفورماتور، با اطلاع‌رسانی به موقع می‌توان موجب تداوم انتقال انرژی الکتریکی شد [۱].

دو دسته از عیوب ترانسفورماتورهای قدرت که بسیار مورد توجه قرار گرفته است، عیوب تغییر شکل شعاعی سیم‌پیچ و تخلیه جزیی هستند. روش‌های پایش برخط موجود برای تشخیص عیوب مکانیکی و تخلیه جزیی، هیچ کدام بمنظور تشخیص همزمان مورد بررسی قرار نگرفته‌اند. همچنین تاثیر تخلیه جزیی در زمان انجام آزمایش تشخیص عیوب شعاعی هنوز بررسی نشده است. استفاده از امواج الکترومغناطیسی به عنوان یکی از ابزارهای تشخیص این دو عیوب، امروزه بسیار مورد توجه قرار گرفته است [۲-۴]. در این مقاله با مروری کوتاه در هر یک از این دو روش، امکان

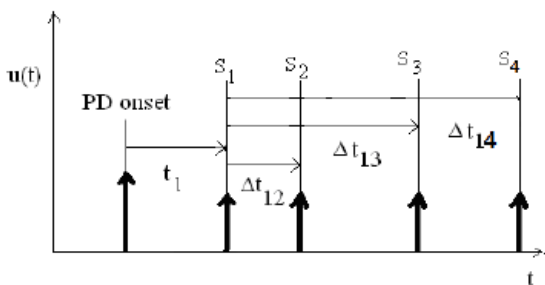
چکیده — پایش برخط ترانسفورماتور یکی از مهمترین مباحث روز دنیا به منظور اطلاع از وضعیت داخل ترانسفورماتور است. با داشتن اطلاعات کامل تر از وضعیت ترانسفورماتور، می‌توان تصمیم مطمین‌تری برای زمان تعمیرات دوره‌ای، اتخاذ کرد. عیب تخلیه جزیی و عیب تغییر شکل شعاعی ترانسفورماتور، از عیوب شاخص و تأثیرگذار در پایش وضعیت ترانسفورماتور هستند. در میان روش‌های موجود در تشخیص این عیوب، استفاده از امواج الکترومغناطیسی به عنوان یکی از ابزارهای تشخیص این دو عیوب، امروزه بسیار مورد توجه قرار گرفته است. روش تصویربرداری راداری در تشخیص عیب تغییر شعاعی، و روش اختلاف زمانی رسیدن امواج الکترومغناطیسی حاصل از تخلیه جزیی به آتن‌های نصب شده در بدنه برای تشخیص تخلیه جزیی، هنوز در حال مطالعه و بهبود هستند. تاکنون روش‌های زیادی برای تشخیص این عیوب معرفی شده‌اند ولی هیچکدام به سمت تشخیص همزمان این دو عیوب حرکت نکرده‌اند. در جهت حرکت به سمت یک پایش وضعیت کامل و جامع، نیاز به بررسی همزمان عیوب احساس می‌شود. این مقاله، به امکان‌سنجی تشخیص همزمان این دو عیوب در ترانسفورماتورها می‌پردازد. به عبارت دیگر بررسی می‌شود که آیا می‌توان عیب شعاعی را با وجود عیب تخلیه جزیی تشخیص داد یا خیر. همانظور که نتایج نشان می‌دهد، تشخیص هر دو عیوب با یک مجموعه آتن نصب شده در بدنه ترانسفورماتور و تفکیک سیگنال‌های تصویربرداری راداری از تخلیه جزیی امکان‌پذیر است.

امکان‌سنجی تشخیص تغییر شکل شعاعی و مکان‌یابی تخلیه جزیی ترانسفورماتور بصورت برخط و همزمان با استفاده از امواج الکترومغناطیسی

دومین کنفرانس بین‌المللی ترانسفورماتور ۱۳۹۴ – تهران، ایران

تقاطع دارند. این تفاوت زمان‌ها برای یک سیگنال، در شکل ۱ بصورت شماتیک برای چهار آنتن نمایش داده شده است.

در روش TDOA، معادلات هایپربولیکی به صورت زیر است [۴]:



شکل ۱: تفاوت زمان‌های رسیدن سیگنال از محل عیب به آنتن‌ها

$$(c^* t_1)^2 = (x - x_1)^2 + (y - y_1)^2 + (z - z_1)^2 \quad (1)$$

$$(c^*(t_1 + \Delta t_{12}))^2 = (x - x_2)^2 + (y - y_2)^2 + (z - z_2)^2 \quad (2)$$

$$(c^*(t_1 + \Delta t_{13}))^2 = (x - x_3)^2 + (y - y_3)^2 + (z - z_3)^2 \quad (3)$$

$$(c^*(t_1 + \Delta t_{14}))^2 = (x - x_4)^2 + (y - y_4)^2 + (z - z_4)^2 \quad (4)$$

در این معادله c بیانگر سرعت نور در محیط و Δt_{12} ، Δt_{13} و Δt_{14} بیانگر اختلاف زمانی سیگنال رسیده از محل عیب به آنتن اول نسبت به سیگنال رسیده به آنتن‌های بعدی است. مکان آنتن‌ها که با S_1 ، S_2 ، S_3 و S_4 شناخته می‌شوند به ترتیب به صورت (x_1, y_1, z_1) ، (x_2, y_2, z_2) ، (x_3, y_3, z_3) و (x_4, y_4, z_4) نمایش داده می‌شوند. مکان عیب در ابتدا به صورت (x, y, z) نامشخص است و سیگنال با زمان t_1 که نامشخص است به اولین آنتن می‌رسد.

۲.۲. شبیه سازی روش

به منظور شبیه سازی، از نرم افزار CST Studio استفاده شده است. به علت بزرگ بودن ابعاد یک ترانسفورماتور و محدودیت سخت افزاری کامپیوتری (اشغال زیاد RAM و CPU توسط نرم افزار CST) در شبیه سازی با نرم افزار، یک مدل آزمایشگاهی برای شبیه سازی این نوع مطالعات استفاده می‌شود که در [۱] بصورت عملی آزمایش گرفته شده و به عنوان مدل جایگزین، استفاده شده است. ابعاد شبیه سازی شده در جدول ۱ آورده

سنجی تشخیص همزمان این عیوب و مکان‌یابی عیب تخلیه جزیی بطور همزمان با استفاده از یک مجموعه آنتن نصب شده روی بدنه ترانسفورماتور، مورد بررسی قرار می‌گیرد.

در دو بخش بعدی به روش تشخیص هر کدام از این عیوب توسط امواج الکترومغناطیسی اشاره‌ای کوتاه می‌نماییم. در بخش چهارم، تاثیر وجود تخلیه جزیی در حین تشخیص عیب شعاعی نشان داده خواهد شد. در بخش پنجم روشی بنظرور تفکیک سیگنال‌ها ارایه شده و نتیجه گیری در بخش ششم ارایه می‌شود.

۲. تشخیص تخلیه جزیی با روش الکترومغناطیسی

۲.۱. توضیح روش

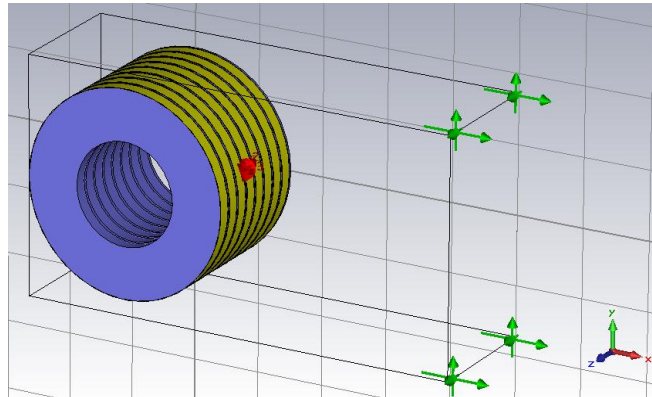
تشخیص تخلیه جزیی یا^۱ PD به کمک امواج الکترومغناطیسی^۲ UHF در ترانسفورماتورهای قدرت، روشی جدید بوده و چند سالی است که به طور جدی مورد مطالعه قرار گرفته است [۵-۶]. در ترانسفورماتورها، آشکارسازی امواج الکترومغناطیسی فرکانس بالای PD در محدوده امواج مخزن ترانسفورماتور از طریق شیر روغن یا در دیوارهای خارجی آن نصب می‌شود، امکان‌پذیر است [۷]. در [۶]، اظهار داشته که بدليل ایزوله بودن مخزن ترانسفورماتور از PD های اتفاق افتاده در خارج از تانک از لحاظ الکترومغناطیسی، سیگنال به نویز خوبی داریم. در [۷] به صورت تجربی نشان داده شده است که انتشار امواج الکترومغناطیسی در باند فرکانسی UHF در روغن ترانسفورماتور، در شرایط عادی چندان متأثر از عواملی نظیر پیری، وجود رطوبت و تغییرات دمایی آن در شرایط معمولی نیست.

یکی از رایج‌ترین روش‌های مکان‌یابی PD با استفاده از امواج الکترومغناطیسی، روش^۳ TDOA می‌باشد [۴]. در این روش، زمان انتشار سیگنال از منبع تخلیه جزئی به آنتن‌ها را نمی‌توان تشخیص داد اما اختلاف زمانی سیگنال رسیده به یک جفت آنتن کمک می‌کند تا با یک معادله هایپربولیکی بتوان محل عیب را بر پایه روش TDOA تشخیص داد. با وجود چهار آنتن، سه معادله هایپربولیکی تشکیل می‌شود که در یک نقطه

¹ Partial Discharge

² Ultra High Frequency

³ Time Difference Of Arrival



شکل ۳: شبیه سازی انجام شده در CST

۳. تشخیص تغییر شکل شعاعی با استفاده از روش تصویربرداری راداری

۳.۱. توضیح روش

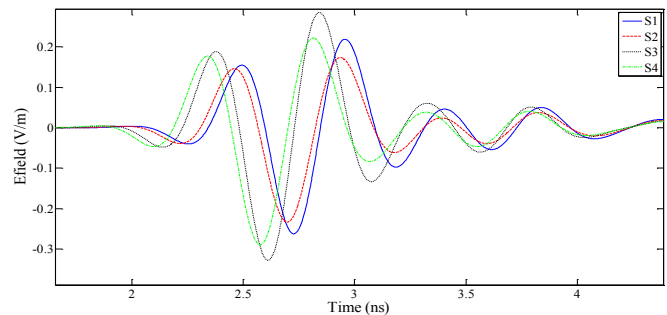
یکی از بروزترین روش‌های تشخیص عیوب شعاعی سیم پیچ ترانسفورماتور که در حال مطالعه و بهبود می‌باشد، روش تصویربرداری راداری می‌باشد. نحوه تصویربرداری در شکل ۴ نشان داده شده است. هنگامی که پالس توسط آنتن فرستنده ارسال می‌گردد، امواج ارسالی به هدف (ترانسفورماتور) برخورد نموده و در تمام جهات منعکس می‌گردد. پالس منعکس شده توسط آنتن گیرنده دریافت می‌گردد. برای به دست آوردن یک تصویر دو بعدی از هدف، موقعیت آنتن‌ها تغییر داده شده و در نقاط مختلف محور Z، فرآیند ارسال پالس و دریافت بازتاب آن تکرار می‌گردد [۲]. سیگنال دریافتی در هر موقعیت آنتن یک اسکن نامیده می‌شود. هر اسکن یک سیگنال زمانی بوده که با نمونه‌برداری از امواج دریافتی در یک موقعیت خاص به دست می‌آید. با تغییر موقعیت آنتن در طول محور اسکن‌های مختلفی به دست می‌آید. مجموعه سیگنال‌های دریافت شده در فرآیند اسکن-گیری به عنوان داده‌های خام برای به دست آوردن تصویر به کار گرفته می‌شوند. به علت اینکه در سیگنال‌های دریافت شده مواردی همچون چند مسیری وجود دارد، نیاز به پردازش اولیه سیگنال‌های خام داریم. این پردازش‌ها در [۳] به تفصیل شرح داده شده است. در این مقاله به منظور تبدیل سیگنال‌ها به یک تصویر دو بعدی، از الگوریتم مهاجرت کیرشف استفاده شده است. طریقه بدست آوردن معادلات مربوطه در [۳] توضیح داده شده است که بدلیل محدودیت تعداد صفحات در اینجا ذکر نشده است.

شده است. لازم بذکر است این شبیه سازی‌ها نیز با استفاده از کامپیوترا بر Core i7 CPU و 18G RAM انجام شده است.

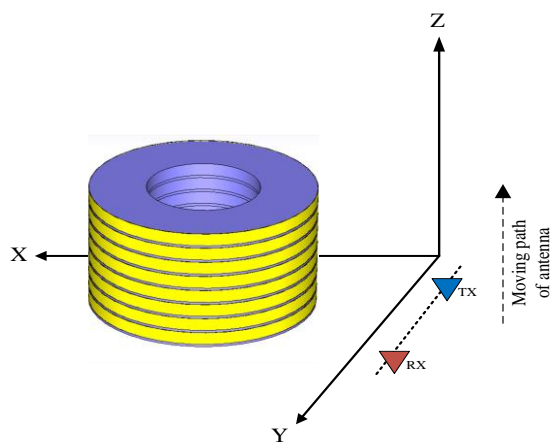
جدول ۱: پارامترهای مدل شبیه سازی شده

پارامتر	مقادیر
قطر دیسک	300mm
تعداد دیسک‌ها	8
ارتفاع هر دیسک	20mm
ارتفاع pressboard از جنس spacer	5mm
فاصله آنتن‌ها از دیسک‌ها	350mm

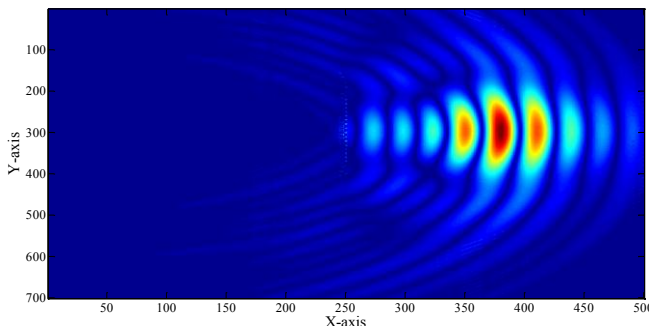
مکان آنتن‌ها در مختصات S2(500,-173,180)، S1(500,-173,10)، S3(500,173,10)، S4(500,173,180) هستند. سیگنال‌های دریافت شده در شکل ۲ نشان داده شده است. محیط شبیه سازی شده به همراه محل آنتن‌ها (با رنگ سبز) و محل عیوب تخلیه جزیی (با رنگ قرمز)، در شکل ۳ نمایش داده شده است. محل عیوب تخلیه جزیی در مختصات P(146,39,124.5) واقع شده است. با توجه به معادلات (۱) تا (۴)، محل تخلیه جزیی در مختصات (181.5,38,119) تخمین زده شد که با محل عیوب واقعی حدود 35mm فاصله دارد. این دقت با توجه به ابعاد شبیه سازی شده (در حدود $650*350*200\text{mm}^3$) و با توجه به نمونه عملی انجام شده در [۸] که با خطای 20cm تخمین زده شده است، دقت قابل قبولی می‌باشد.



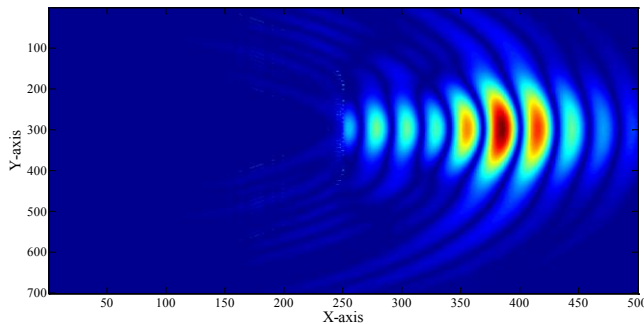
شکل ۲: سیگنال‌های دریافت شده از تخلیه جزیی توسط آنتنها



شکل ۴-(ب): نمای سه بعدی شبیه سازی



شکل ۵-(الف)- تصویر حالت سالم



شکل ۵-(ب)- تصویر حالت معیوب

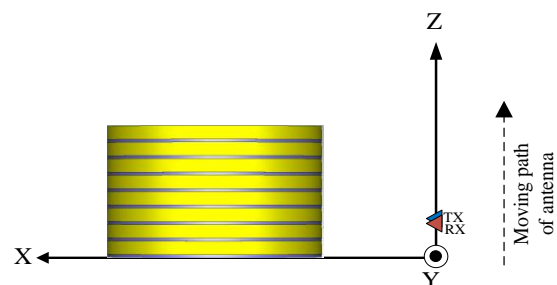
۴. تاثیر تخلیه جزیی در تشخیص عیب شعاعی

همانطور که در بخش قبل توضیح داده شد میزان و تعداد نقاط گرم تعیین کننده عیب شعاعی در سیم‌پیچ ترانسفورماتور است. اما اگر در حین ارسال و دریافت سیگنال‌ها عیب تخلیه جزیی رخ دهد، ترکیب سیگنال ساطع شده از تخلیه جزیی و سیگنال مربوط به تشخیص عیب شعاعی موجب تشخیص اشتباه در عیب شعاعی می‌شود. به عنوان نمونه اگر در گام نهم و در حین ارسال و دریافت سیگنال، یک عیب تخلیه جزیی رخ دهد، همانطور که در شکل ۶ نمایش داده شده است، یا تصویر حاصله، عیب را

همچنین تاثیر عواملی همچون تانک ترانسفورماتور و یا روغن ترانسفورماتور در مقالات قبلی بررسی شده است [۹-۱۰]. شایان ذکر است که روش ارایه شده در [۳] از باند فرکانسی فراپهن باند شامل حدود فرکانس ۳GHz تا ۶GHz استفاده شده است. اما همانطور که در بخش قبلی ذکر شد، بازه فرکانسی در عیب‌های تخلیه جزیی ایجاد شده بین ۳۰۰MHz تا ۲GHz می‌باشد. از آنجا که در این مقاله هدف ما استفاده از یک مجموعه آتن در بدنه ترانسفورماتور برای تشخیص همزمان هر دو عیب است، در نتیجه شبیه سازی تشخیص عیب شعاعی در بازه فرکانسی ۳۰۰MHz تا ۲GHz انجام شده است. نتایج شبیه سازی نشان می‌دهد که در این بازه فرکانسی نیز نتایج، مشابه با روش فراپهن باند ارایه شده در [۳] می‌باشد و استفاده از این بازه فرکانسی نیز قابل قبول می‌باشد.

۳.۳. شبیه سازی روش

اطلاعات شبیه سازی در جدول ۱ در قسمت قبلی توضیح داده شد. در این بخش بمنظور بررسی تغییر شکل شعاعی سیم پیچ، عیب شعاعی بصورت بیرون‌زدگی در محل (۱۵۰,۰,۹۶.۵) با ابعاد $60*40*25$ ایجاد شد و طبق توضیحات داده شده، آتن‌ها در ۱۸ گام، از ارتفاع ۱۰ تا ارتفاع ۱۸۰ میلیمتری، فرآیند ارسال و دریافت را انجام می‌دهند. تصویر ایجاد شده برای حالت سالم و معیوب در شکل ۵ نشان داده شده است و بطور بصری می‌توان تخمین زد که میزان نقاط قرمز (نقاط گرم) در حالت معیوب بیش از حالت سالم است. اگر عدد ۴.۰ به عنوان میزان سنجش برای مقایسه نقاط گرم باشد، تعداد نقاط در حالت سالم برابر با ۹۵۴ و در حالت معیوب برابر ۱۱۶۷۷ می‌باشد که بیانگر وجود عیب شعاعی و قابلیت تشخیص آن از تصاویر است.



شکل ۴-(الف): نمای X-Z از شبیه سازی

شود و سپس سیگنالهای سینوسی با هم جمع شوند به همان سیگنال گوسی خواهیم رسید.

با توجه به توضیحات ذکر شده، در این مقاله پیشنهاد می‌شود به جای استفاده از یک سیگنال گوسی که در [۳] پیشنهاد شده است، از مجموع چند سیگنال سینوسی برای هر گام از آزمایش تشخیص عیب شعاعی استفاده شود. به این روش به اصطلاح *step frequency* می‌گویند. مزیت این روش در این است که زمانیکه سیگنال سینوسی با فرکانس f باشد و فقط دامنه و فاز آن تغییر یافته باشد. با توجه به اینکه عیب تخلیه جزیی محدوده ای از فرکانسهای UHF را در محیط منتشر می‌کند و فقط در یک فرکانس خاص در فضا سیگنال منتشر نمی‌کند، اگر عیب تخلیه جزیی در حین ارسال و دریافت یکی از موجهای سینوسی رخ بدده، سیگنال دریافت شده در آتن دریفت کننده، سینوسی با یک فرکانس خالص نیست. در نتیجه در حین ارسال و دریافت این آزمایش یک تخلیه جزیی رخ داده است و ارسال و دریافت سیگنال سینوسی برای این فرکانس باید تکرار شود. این تکرار تا زمانی ادامه می‌باید تا یک سیگنال سینوسی ارسال شود و سیگنال دریافتی هم سینوسی با همان فرکانس باشد. عبارت دیگر تا زمانی که تشخیص داده شود سیگنال دریافتی بدون حضور تخلیه جزیی است، این تکرار ادامه می‌باید.

یک ابهام مهم که در این روش می‌ماند این است که آیا اصلاً امکان دسترسی به سیگنالی که تداخل با سیگنال تخلیه جزیی نداشته باشد امکان پذیر است یا خیر. این سوال وقتی مهتر خواهد شد که می‌دانیم عیب تخلیه جزیی در طول یک پریود فرکانس 50Hz ممکن است بارها اتفاق بیفتد. عبارت دیگر با توجه به تکرار داشتن عیب تخلیه جزیی و سیگنال آن در محیط، آیا امکان دارد که سیگنال سینوسی ای ارسال شود و سیگنال دریافتی نیز سینوسی با یک فرکانس خالص باشد تا تداخل سیگنال عیب تخلیه جزیی وجود نداشته باشد یا خیر. در جواب، لازم است زمان رفت و برگشت سیگنال برای تشخیص عیب شعاعی، و همچنین تعداد تکرار عیب تخلیه جزیی در یک پریود 50Hz بررسی شود. اگر زمان بین دو تخلیه جزیی صورت گرفته به قدری زیاد باشد که سیگنال سینوسی ارسالی از آتن برای تشخیص عیب شعاعی، در بین دو رخداد متولی تخلیه جزیی، بتواند ارسال و دریافت شود مشکلی نخواهیم داشت. در تشخیص عیب شعاعی سیگنال فاصله بین آتن فرستنده تا ترانسفورماتور و پس از برخورد از سطح ترانسفورماتور تا آتن دریافت کننده را با سرعت نور طی می‌کند. در نتیجه زمان رفت و برگشت سیگنال در حدود چند نانوثانیه (کمتر از 10ns) خواهد بود. از طرف دیگر،

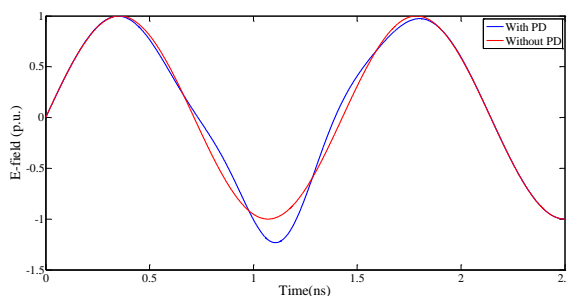
تصورت اشتباه نشان می‌دهد (بطور مثال در این شکل عیب فورفتگی نشان داده است چون طبق [۳] تعداد نقاط قرمز رنگ کمتر شده است) و یا دیگر تصویری از سیم‌پیچ تشکیل نخواهد داد.

۵. تفکیک داده‌های مربوط به عیب تخلیه جزیی و تغییر شکل شعاعی

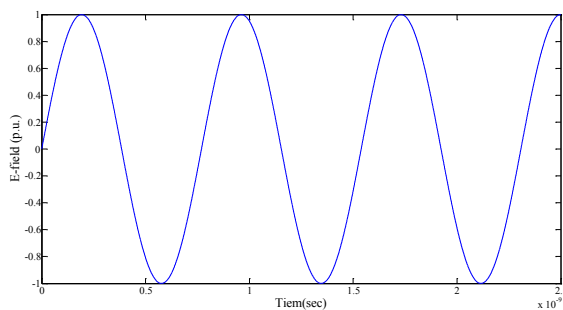
یکی از اقداماتی که در پایش وضعیت ترانسفورماتورها نیاز است انجام گیرد، ترکیب روش‌های پیشین و حرکت به سمت پایش کامل ترانسفورماتور می‌باشد. در این مقاله دو روش تشخیص عیب شعاعی سیم‌پیچ ترانسفورماتور و تخلیه جزیی که هر دو بر پایه روش الکترومغناطیسی می‌باشند مورد بررسی قرار می‌گیرند.

در بخش قبل نشان داده شد که تداخل عیب تخلیه جزیی در هنگام تشخیص عیب مکانیکی موجب تخریب شکل حاصله و تشخیص اشتباه خواهد شد. در نتیجه لازم است تا اطلاعات مربوط به تخلیه جزیی از داده های مورد نیاز برای تشخیص عیب شعاعی تفکیک شوند. بدین منظور، در این مقاله پیشنهاد شده است که در روش تشخیص عیب شعاعی اصلاحی صورت گیرد تا بتوان از تداخل داده‌ها جلوگیری نمود. شایان ذکر است که مشکل ایجاد شده فقط در تشخیص عیب شعاعی است و در تشخیص و مکان یابی عیب تخلیه جزیی مشکلی نداریم. زیرا در زمانی که فرستنده و گیرنده مربوط به تشخیص عیب شعاعی خاموش می‌باشد، سیگنالهای تخلیه جزیی همانند توضیحات بخش دوم دریافت شده و مکان یابی صورت می‌گیرد، ولی در زمانی که عیب تخلیه جزیی وجود دارد، بخواهیم عیب شعاعی را تشخیص دهیم به مشکلات ذکر شده در بخش ۴ برخورد می‌کنیم. همانطور در بخش سوم نیز اشاره شد، روش ارایه شده در [۳]، از یک سیگنال گوسی که تمامی فرکانسهای بازه مورد مطالعه را دارد، استفاده می‌نماید. عبارت دیگر اگر در حوزه فرکانس به این سیگنال نگاه شود، این سیگنال حاصل جمع مجموعی از سیگنالهای سینوسی با فرکانسهای مختلف در بازه مورد مطالعه است. سیگنال دریافت شده پس از بازخورد از جسم نیز به همین صورت مجموعی از سیگنالهای سینوسی با فرکانسهای مختلف است که حاصل، بصورت یک سیگنال گوسی نمایش داده می‌شود. در واقع سیگنالهای دریافتی برای تشخیص عیب مکانیکی همان سیگنالهای سینوسی ارسالی می‌باشند که اندازه و فاز آنها در حین مسیر متفاوت گشته است. در نتیجه اگر سیگنال گوسی بصورت چند سینوسی جداگانه ارسال و دریافت

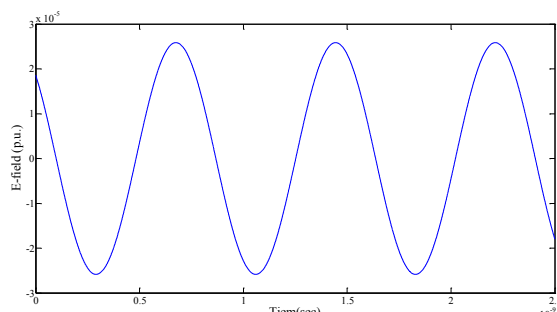
عیب شعاعی ترکیب شود. در بخش ۴ نشان دادیم که در صورت تفکیک نشدن این سیگنال‌ها، جواب نهایی برای عیب شعاعی قابل اعتماد نخواهد بود. سیگنال ترکیب شده در شکل ۷ برای یک نمونه، نمایش داده شده است. همانطور که ملاحظه می‌شود در این فرکانس، سیگنال دریافتی توسط آنتن بصورت سینوسی خالص نبوده و باید آزمایش در این فرکانس به منظور تشخیص درست عیب شعاعی دوباره تکرار شود. تکرار آزمایش تا زمان دست یافتن به یک سیگنال سینوسی خالص ادامه خواهد یافت که امکان پذیری دست یابی به همچین سیگنالی شرح داده شد.



شکل ۷: تاثیر تخلیه جزیی در سیگنال دریافتی برای یک فرکانس



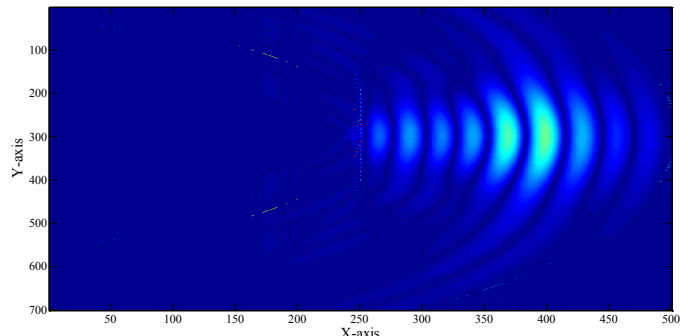
شکل ۸-(الف): سیگنال ارسال شده



شکل ۸-(ب): سیگنال دریافت شده

شکل ۸ تغییرات فاز و دامنه را برای فرکانس 1.3GHz در گام ۹ نمایش می‌دهد. همانطور که مشخص است نه تنها دامنه بر اثر تلفات محیط کاهش داشته است بلکه فاز آن نیز تغییر یافته است. همچنین شکل ۹ تغییرات دامنه

همانطور که در [۱۲] بیان شده است، در هر سیکل از فرکانس 50Hz شبکه، ممکن است در حدود ۵۰ بار تخلیه جزیی بوقوع پیوندد. عبارت دیگر بین دو تخلیه جزیی متوالی در حدود 1ms فاصله خواهد بود. با مقایسه این دو زمان می‌توان نتیجه گرفت که اگر در فاصله 1ms ، بتوان لاقل ۱۰ بار (مجموعاً در حدود 0.1 ms میکروثانیه که بسیار کمتر از 1ms است) سیگنال سینوسی را ارسال و دریافت کرد، می‌توان به گرفتن سیگنالی بدون تداخل با تخلیه جزیی اطمینان حاصل نمود. بطوريکه اگر سیگنال دریافتی بصورت سیگنال سینوسی خالص نبود طبق توضیحات بالا باید فرآیند ارسال و دریافت برای آن فرکانس دوباره تکرار شود.



شکل ۶: تاثیر تخلیه جزیی در تصویربرداری راداری

یکی از مزایای این روش، تاثیر نداشتن نویز بر این سیستم است. همانطور که در مطالعات قبلی نشان داده شده است [۱۱,۶]، داخل ترانسفورماتور نسبت به محیط اطراف خود کاملاً شیلد می‌باشد. در نتیجه نویز محیطی تاثیری بر عملکرد سیستم ندارد. نویزهای داخل محیط ترانسفورماتور نیز با توجه به آزمایش عملی صورت گرفته بر روی یک ترانسفورماتور 200kV واقعی در [۱۱]، بر روی عملکرد الکترومغناطیسی سیستم تشخیص تاثیر قابل ملاحظه ای ندارد.

بمنظور شبیه سازی روش ارایه شده در این مقاله، از مدل ذکر شده در بخش دوم استفاده شده است. بدای استفاده از سیگنال گوسی، در 2990 GHz فرکانس بمنظور شبیه سازی در بازه 300 MHz تا 3 GHz بررسی شد. بمنظور تشخیص عیب شعاعی سیمپیچ، در 18 cm با فواصل 10 mm میلیمتری از هم، 2990 GHz سیگنال سینوسی در 2990 GHz فرکانس مختلف در بازه فرکانسی 300 MHz تا 3 GHz برای ارسال و دریافت هر 1 cm بررسی می‌شود. در هر سیگنال سینوسی، سیگنال دریافتی باید نسبت به سیگنال ارسالی فقط در دامنه و فاز متفاوت باشد. بمنظور بررسی تاثیر عیب تخلیه جزیی در حین تشخیص عیب شعاعی، در 1 cm در حین ارسال و دریافت، فرض کردیم که عیب تخلیه رخ دهد و سیگنال ناشی از تخلیه جزیی با سیگنال تشخیص

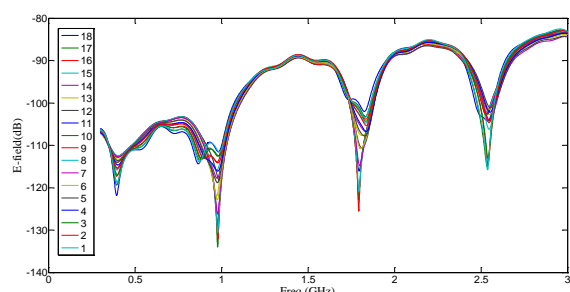
- [1] M.A. Hejazi, J. Ebrahimi, G.B. Gharehpétian, M. Mohammadi, R. Faraji Dana, G. Moradi, "Application of Ultra-Wideband Sensors for On-line Monitoring of Transformer Winding Radial Deformations–A Feasibility Study", IEEE Sensors, Vol. 12, No. 6, pp. 1649-1659, June 2012.
- [2] Raziyeh Mosayebi, H. Sheikhzadeh, M. S. Golsorkhi, M. A. Hejazi, G. B. Gharehpétian, "Detection of Winding Radial Deformation in Power Transformers by Confocal Microwave Imaging", Electric Power Components and Systems, Vol. 42, Issue 6, April 2014, pp. 605-611.
- [3] M. S. Golsorkhi1, G. B. Gharepetian, M. Dehmollaian, M. A. Hejazi, "A Feasibility Study on Application of Radar Imaging for Detection of Transformer Winding Radial Deformation", IEEE Transactions on Power Delivery, Vol. 27, No. 4, Oct. 2012, pp. 2113-2121.
- [4] H. Karami, M.S.A. Hejazi, M.S. Naderi, G.B. Gharehpétian, S. Mortazavian, "Three-dimensional Simulation of PD Source Allocation Through TDOA Method", 4th Conference on Thermal Power Plants (Gas, Combined Cycle, and Steam), Dec. 18-19, 2012.
- [5] Lopez-Roldan, J., Tang, T., Gaskin, M., "Optimisation of a sensor for onsite detection of partial discharges in power transformers by the UHF method", Dielec. & Elec. Insul., IEEE Trans. on, Vol. 15 , Issue 6,2008.
- [6] S. Tenbholen, D. Denissov and S. M. Hoek, "Partial Discharge Measurement in the Ultra High Frequency (UHF) Range", Dielec. and Elec. Insul., IEEE Trans. on, Vol. 15, Issue: 6, pp. 1544-1552, 2008.
- [7] Convery, A.R. and Judd, M.D. (2003) Measurement of propagation characteristics for UHF signals in transformer insulation materials. In: 2003 13th International Symposium on High Voltage Engineering (ISH), 2003-08-25 - 2003-08-29, Delft.
- [8] H. H. Sinaga, B. T. Phung and T. R. Blackburn, "Partial Discharge Localization in Transformers Using UHF Detection Method", IEEE Transactions on Dielectrics and Electrical Insulation Vol. 19, No. 6; December 2012.
- [٩] مریم السادات اخوان حجازی، مریم صباغ پور آراني، قاسم مختاری، گلورک فره پیان، "اندازه گیری اثر تانک در روش تشخیص تغییر شکل شعاعی سیم پیچ ترانسفورماتور توسط امواج الکترومغناطیسی" بیست و نهمین کنفرانس بین‌المللی برق – ۱۳۹۳ – تهران، ایران
- [10] M. Akhavan Hejazi, G.B. Gharehpétian, and A. Mohammadi, "Effect of Oil on Transformer Monitoring Using Electromagnetic Waves", 21-th International Power System Conference, Nov. 13-15, 2006, Tehran, Iran (in Persian).
- [11] Wenzhi, C., Zhiguo, T., Chengrong, L., Hao, W., Yuan, Y., & Yimin, J., "A novel sensor for UWB RF PD location and experimental investigation on a 220kV transformer" Electrical Insulation and Dielectric Phenomen, IEEE Conference on, pp. 413-416, 2009.
- [12] J. Li, W. Si, X. Yao, Y. Li, "Partial Discharge Characteristics over Differently Aged Oil/pressboard Interfaces", IEEE Trans. on Dielec. & Elec. Insul., Vol. 16, No. 6, pp. 1640-1647, 2009.

و فاز سیگنالهای سینوسی دریافت شده در همه گامها را نسبت به سیگنال ارسالی (پارامتر S_{21})، بعد از تفکیک سیگنالها از سیگنال تخلیه جزیی، در فرکانس‌های مختلف، نشان داده است.

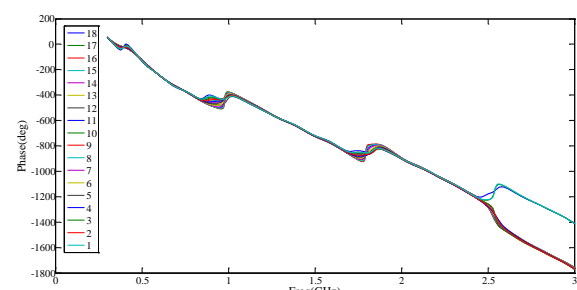
با اعمال روش ذکر شده برای همه گامها و همه فرکانس‌های ارسالی و دریافتی، تصاویر بدست آمده پس از تفکیک سیگنال‌ها همانند تصاویر بدست آمده در بخش سوم خواهد بود که می‌توان بدین صورت عیب شعاعی را با وجود عیب تخلیه جزیی تشخیص داد.

٦. نتیجه گیری

در این مقاله با بررسی دو روش مکان‌یابی تخلیه جزیی و تشخیص عیب شعاعی سیم پیچ ترانسفورماتور با کمک امواج الکترومغناطیسی، امکان‌سنجی استفاده همزمان سیستم نصب شده بروی بدنه تانک بمنظور تشخیص همزمان این دو عیب با استفاده از این سیستم مطالعه شد. نتایج نشان داد که تغییر الگوی ارسال و دریافت سیگنال در روش تشخیص عیب شعاعی به کمک تصویربرداری راداری، می‌توان این عیب را در زمانی که تخلیه جزیی نیز صورت بگیرد تشخیص داد.



شکل ٩-(الف): تغییرات دامنه در گامها و فرکانس‌های مختلف



شکل ٩-(ب): تغییرات فاز در گامها و فرکانس‌های مختلف

منابع